



# БИООРГАНИЧЕСКАЯ ХИМИЯ

том 9 \* № 4 \* 1983

УДК 547.963.32.07:577.152.314

## ПРИМЕНЕНИЕ НУКЛЕАЗ ДЛЯ СИНТЕЗА 2'-5'-ОЛИГОАДЕНИЛАТОВ И ИХ АНАЛОГОВ

Карпейский М. Я., Мамаева О. К., Михайлов С. Н.,  
Падюкова Н. Ш., Яковлев Г. И.

Институт молекулярной биологии Академии наук СССР, Москва

### Стрт II.

Институт органической химии и биохимии ЧСАН, Прага, ЧССР

Полимеризация аденоzin-2'(3')-фосфата в присутствии дифенилхлорфосфата приводит к олигомеру, содержащему межнуклеотидные 2'-5'- и 3'-5'-связи. Гидролиз такого олигомера нуклеазами позволяет получить следующие 2'-5'-ольгоаденилаты: АрА, АрАрА, АрАрАрА, рАрА и рАрАрЛ. Для характеристики исходного олигомера и продуктов его ферментативного гидролиза использована  $^{31}\text{P}$ -ЯМР-спектроскопия. Конденсация аденоzin-2',3'-циклофосфата с (2'-5')АрА в присутствии неспецифической нуклеазы *Penicillium brevicompactum* приводит к аденилил(3'-5')аденилил(2'-5')аденоzinу. Периодатным окислением (2'-5')АрА и (2'-5')АрАрА с последующим восстановлением NaBH<sub>4</sub> синтезируют аналоги 2'-5'-ольгоаденилатов.

В 1978 г. Керром и Брауном был выделен из клеток, обработанных интерфероном, и охарактеризован низкомолекулярный ингибитор белкового синтеза 5'-трифосфориладенилил(2'-5')аденилил(2'-5')аденоzin [1], который является активатором специфической эндонуклеазы — фермента, гидролизующего мРНК [2, 3]. Это соединение — первый представитель нового класса природных олигонуклеотидов с 2'-5'-межнуклеотидными связями.

К настоящему времени опубликованы различные схемы синтеза 2'-5'-ольгоаденилатов и их аналогов, включающие в себя как чисто химические (см. ссылки в работе [4]), так и ферментативные подходы [5—7].

Цель данной работы — дальнейшая разработка простых методов синтеза 2'-5'-ольгоаденилатов и их аналогов. Удобным способом получения таких соединений является ферментативный гидролиз олигонуклеотидов, содержащих как 2'-5'-, так и 3'-5'-межнуклеотидные связи, нуклеазами, гидролизующими только 3'-5'-межнуклеотидные связи. Полимеризация три-*n*-октиламмониевой соли аденоzin-2'(3')-фосфата (I) в диоксане в присутствии дифенилхлорфосфата по методу Михельсона [8] приводит к смеси олигомеров (II) с межнуклеотидными 2'-5'- и 3'-5'-связями.

Для характеристики исходного олигомера (II) и продуктов его ферментативного гидролиза была применена  $^{31}\text{P}$ -ЯМР-спектроскопия. На рис. 1 представлен  $^{31}\text{P}$ -ЯМР-спектр олигомера (II). Группа сигналов (A) относится к концевому циклофосфату олигомеров, мультиплет (B) — к сигналам 2'-5'- и 3'-5'-межнуклеотидных фосфатных остатков [9]. Интегрирование мультиплетных сигналов (A) и (B) дает соотношение концевого циклофосфата к межнуклеотидным фосфатным остаткам (1 : 12), по которому можно оценить среднюю длину олигомера (II): ~13 нуклеотидных звеньев ( $n=12$ ).

На рис. 2 приведен  $^{31}\text{P}$ -ЯМР-спектр олигомера (II) после инкубации олигомера с неспецифической нуклеазой *Penicillium brevicompactum*. Группа сигналов (A) отсутствует в спектре вследствие ферментативного гидролиза всех концевых циклофосфатов до 3'-фосфатов. Кроме того, происходит расцепление всех межнуклеотидных 3'-5'-связей в олигомере с образованием соответствующих 3'-фосфатов. Поэтому в спектре наблюдается измененная по форме и интенсивности группа сигналов 2'-5'-фосфатных

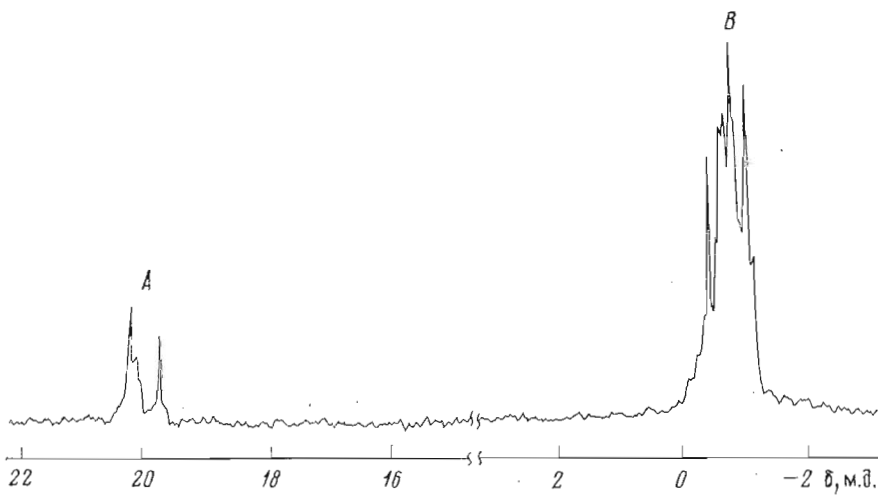


Рис. 1.  $^{31}\text{P}$ -ЯМР-спектр олигомера (II) в  $\text{D}_2\text{O}$ , рН 4,8

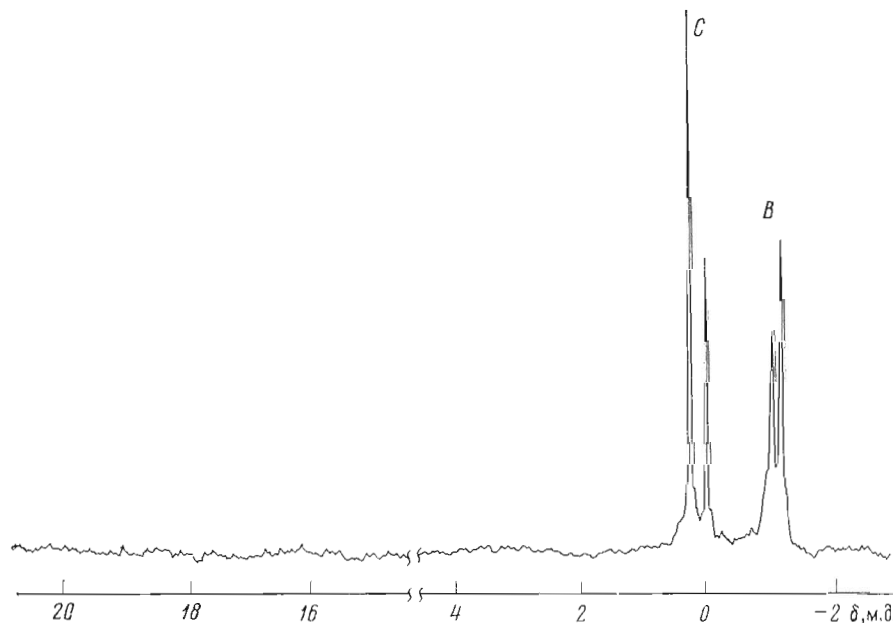
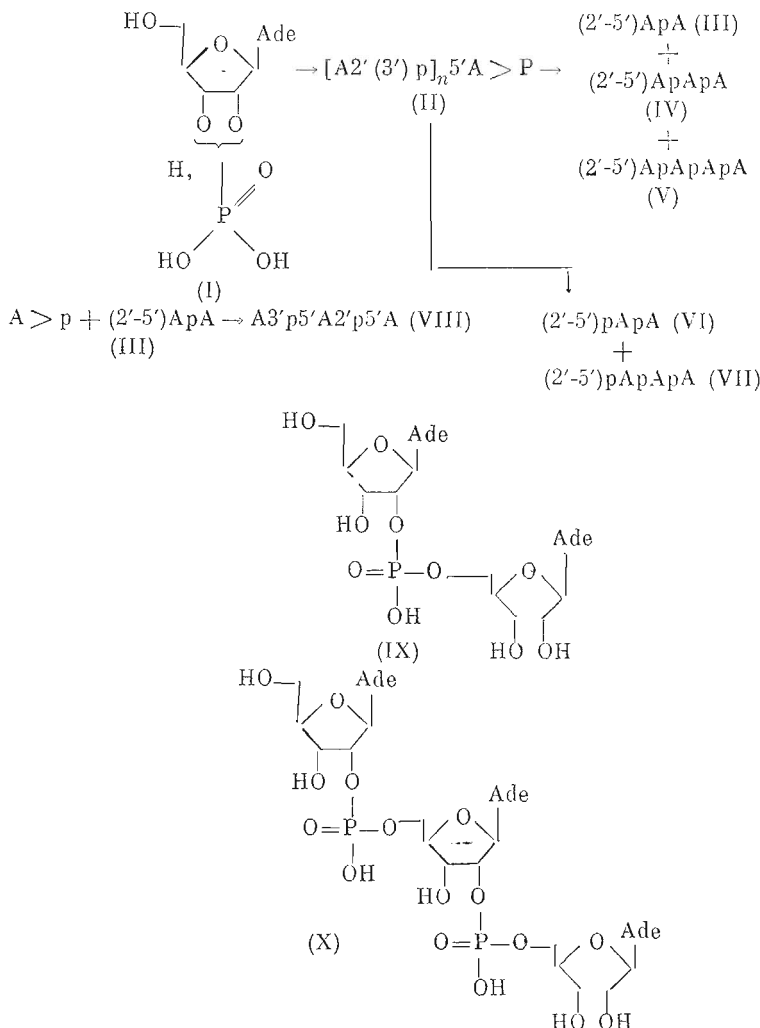


Рис. 2.  $^{31}\text{P}$ -ЯМР-спектр продуктов гидролиза олигомера (II) неспецифической рибонуклеазой *P. brevicompactum*, рН 4,8

остатков (*B*) и в области 0 м.д. появляется группа сигналов (*C*), относящихся к 3'-концевым фосфатным остаткам. Интегрирование сигналов (*C*) и (*B*) с учетом вклада в группу (*C*) 3'-фосфатных остатков, полученных в результате гидролиза концевых циклофосфатов, дает возможность оценить соотношение 2'-5'- и 3'-5'-межнуклеотидных связей в исходном олигомере (II). Соотношение интенсивностей сигналов (*C*) : (*B*) составляет 1,42 : 1. Это означает, что в исходном олигомере (II) содержится 51% 2'-5'- и 49% 3'-5'-межнуклеотидных связей.

На рис. 3 представлен  $^{31}\text{P}$ -ЯМР-спектр олигомера (II) после гидролиза нуклеазой *P. brevicompactum* и обработки щелочной фосфатазой *E. coli*. Вследствие гидролиза концевых фосфатных остатков фосфатазой с образованием ортофосфорной кислоты в ЯМР-спектре наблюдается исчезновение группы сигналов (*C*) и появление сигнэлного сигнала в области 3 м.д., характерного для фосфорной кислоты при рН 9 и неизмененная по форме (ср. рис. 2) группа сигналов (*B*).

Для получения 5'-фосфорных эфиров 2'- $\circ$ -олигоаденилатов исходный олигомер (II) последовательно инкубировался с нуклеазой S<sub>1</sub> *Aspergillus oryzae*, которая гидролизует 3'-5'-олигонуклеотиды с образованием 5'-фосфорных эфиров нуклеозидов [10], и неспецифической рибонуклеазой *P. brevicompactum*.



На рис. 4 приведен  $^{31}\text{P}$ -ЯМР-спектр олигомера (II) после инкубирования последнего с нуклеазой S<sub>1</sub> *A. oryzae*. Три мультиплетные группы сигналов (A), (B) и (C) соответственно относятся к 2',3'-циклофосфатным, 2'-5'-межнуклеотидным и 5'-фосфатным остаткам. Удаление циклофосфатных групп из 2'-5'-олигоаденилатов было осуществлено добавлением к смеси нуклеазы *P. brevicompactum*, которая гидролизует циклофосфаты до 3'-фосфатов. рН-Оптимумы работы обоих ферментов совпадают, и нуклеаза S<sub>1</sub> *A. oryzae*, обладающая 3'-нуклеотидазной активностью [10], завершает процесс дефосфорилирования 2',3'-циклофосфатов без затрагивания 5'-фосфатных остатков. Таким образом, в спектре ЯМР олигомера (II) после гидролиза нуклеазой S<sub>1</sub> *A. oryzae* и рибонуклеазой *P. brevicompactum* (рис. 5) присутствуют группа сигналов (B) 2'-5'-межнуклеотидных фосфатных остатков в области  $-1$  м.д., мультиплетный сигнал в области  $0$  м.д. (C), характерный для 5'-фосфатных остатков, и синглет (D) фосфорной кислоты, расположенный в области  $0,5$  м.д. при рН  $4,8$ .

Использование комбинации двух ферментов, гидролизующих 2'-3'-циклофосфатные группы, приводит к увеличению выхода целевых 5'-фосфорилированных 2'-5'-олигоаденилатов по сравнению с описанным ранее

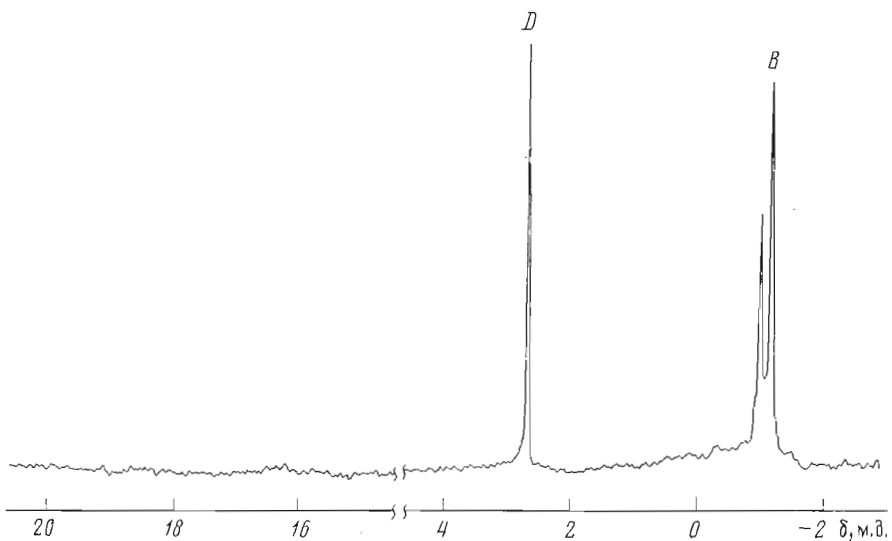


Рис. 3.  $^{31}\text{P}$ -ЯМР-спектр продуктов последовательного гидролиза олигомера (II) рибонуклеазой *P. brevicompactum* и щелочной фосфатазой *E. coli* при рН 9

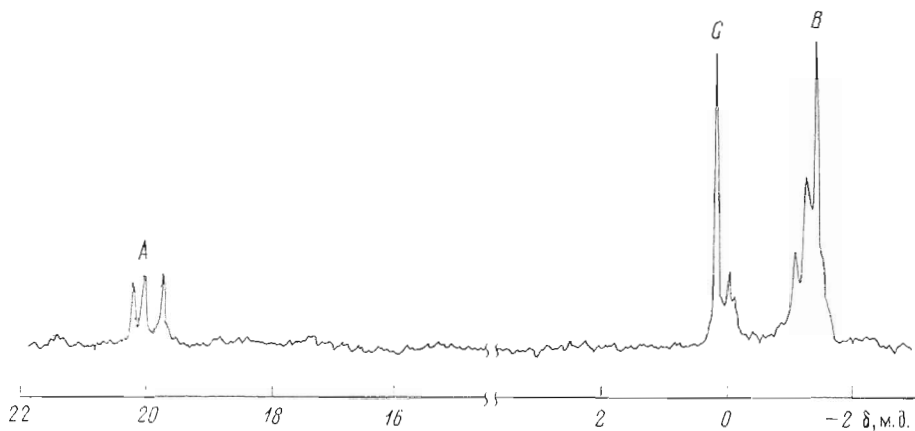


Рис. 4.  $^{31}\text{P}$ -ЯМР-спектр продуктов гидролиза олигомера (II) нуклеазой  $\text{S}_1$ , рН 4,8

{6} ферментативным гидролизом олигомера (II) рибонуклеазой  $\text{P}_1$ , аналогом нуклеазы  $\text{S}_1$ .

Препартивное получение 2'-5'-олигоаденилатов было осуществлено по модифицированному методу, предложенному Керром с сотр. [5]. Обработка олигомера (II) неспецифической рибонуклеазой *P. brevicompactum* для гидролиза межнуклеотидных 3'-5'-связей с последующим отщеплением концевых фосфатных групп щелочной фосфатазой *E. coli* приводит к смеси 2'-5'-олигоаденилатов, разделенной хроматографией на DEAE-целлюзозе. Структура полученных (2'-5')ApA (III), (2'-5')ApApA (IV) и (2'-5')ApApApA (V) подтверждена сравнением данных УФ- и ЯМР-спектров с литературными [5, 11–13], щелочным гидролизом олигонуклеотидов (III)–(V) до аденоzin-2'(3')-фосфата и аденоцина в корректном соотношении, а также устойчивостью этих соединений к действию нуклеазы *P. brevicompactum* и нуклеазы  $\text{S}_1$ .

При инкубировании олигомера (II) с нуклеазой  $\text{S}_1$  *A. oryzae* и неспецифической рибонуклеазой *P. brevicompactum* в препартивных количествах с последующим разделением продуктов реакции хроматографией на сефадексе G-25 и DEAE-целлюзозе в градиенте концентрации  $\text{NH}_4\text{HCO}_3$  были получены (2'-5')pApA (VI) с выходом 16% и (2'-5')pApApA (VII) с выходом 5%. Структура синтезированных соединений доказана с по-

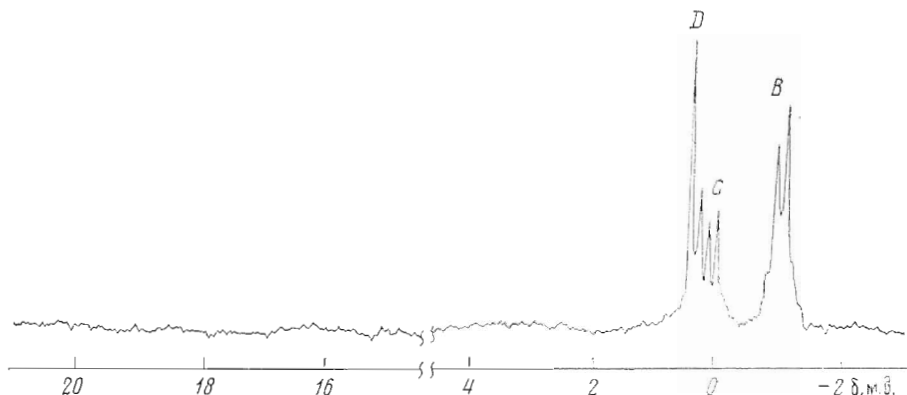


Рис. 5.  $^{31}\text{P}$ -ЯМР-спектр продуктов последовательного гидролиза олигомера (II) нуклеазой S<sub>1</sub> и неспецифической рибонуклеазой *P. brevicompactum* при pH 4,8

мощью ЯМР-спектроскопии и подтверждается устойчивостью к рибонуклеазе *P. brevicompactum*, нуклеазе S<sub>1</sub>, *A. oryzae* и корректным соотношением продуктов щелочного гидролиза. В случае гидролиза соединения (VI) получались аденоzin-2'(3'), 5'-дифосфат и аденоzin, а в случае гидролиза олигонуклеотида (VII) — аденоzin-2'(3'), 5'-дифосфат, аденоzin-2'(3')-фосфат и аденоzin.

Ферментативные методы синтеза олигорибонуклеотидов с применением различных ферментов все шире используются в настоящее время. Особый интерес представляет синтез олигорибонуклеотидов с помощью неспецифических рибонуклеаз, позволяющих синтезировать олигонуклеотиды с любой последовательностью нуклеотидных остатков [14].

В настоящей работе показана принципиальная возможность использования 2'-5'-олигоаденилатов в качестве акцептора в ферментативном синтезе на примере получения аденилил(3'-5')аденилил(2'-5')аденоцина (VIII), ранее полученного химическим синтезом [13]. Используя рибонуклеазу *P. brevicompactum* [15], исходя из аденоцин-2',3'-циклофосфата и аденилил(2'-5')аденоцина (III), было получено соединение (VIII) с выходом 30%. Структура этого соединения была подтверждена его ферментативным гидролизом до аденоцин-3'-фосфата и (2'-5')ApA (III) в соотношении 1 : 1.

Ранее в нашей лаборатории были синтезированы ациклические аналоги нуклеотидов и олигонуклеотидов, сохраняющие все функциональные группы природных соединений, но имеющие вместо рибофуранозного цикла полиоксиметиленовую цепочку [16, 17]. В настоящей работе получены родственные аналоги 2'-5'-олигоаденилатов (IX), (X). По методу, описанному в работе [17], окисляли соединения (III) и (IV) периодатом натрия с последующим восстановлением альдегидных групп боргидридом натрия. Продукты реакции выделяли хроматографией на DEAE-целлюлозе в градиенте концентрации  $\text{NH}_4\text{HCO}_3$ . Выходы соединений (IX) и (X) составляли 48 и 44% соответственно. Структура олигонуклеотидов (IX) и (X) подтверждена ПМР-спектрами, наличие в которых тройчатых сигналов 1'-Н указывает на присутствие в молекулах 2'-CH<sub>2</sub>-групп.

Известно, что аналогичная модификация в 3'-5'-олигоаденилатах приводит к резкому замедлению скорости гидролиза модифицированных олигонуклеотидов фосфодиэстеразой змеиного яда по сравнению с природными [18]. Аналоги 2'-5'-олигоаденилатов (IX) и (X) могут быть интересны для изучения субстратной специфичности 2'-5'-фосфодиэстеразы, так как известно, что модификация 3'-гидроксильной группы в 2'-5'-олигоаденилатах замедляет скорость гидролиза их 2'-5'-фосфодиэстеразой [7].

## Экспериментальная часть

Спектры ПМР регистрировали на спектрометре Varian XL-100 (США) с рабочей частотой 100 МГц при 37° С. Для растворов в D<sub>2</sub>O измерения выполняли с внутренним стандартом *трит-бутанолом* и пересчитывали относительно тетраметилсилана, принимая химический сдвиг *трит-бутанола* по отношению к последнему равным 1,27 м.д. Величину констант спин-спинового взаимодействия *J* измеряли в герцах. <sup>31</sup>P-ЯМР-спектры снимали на том же приборе в D<sub>2</sub>O, используя 85% H<sub>3</sub>PO<sub>4</sub> в качестве внешнего стандарта, в условиях полного подавления спин-спинового взаимодействия с протонами. Химические сдвиги сигналов, находящихся в более слабом поле по отношению к стандарту, принимали положительными, а в более сильном — отрицательными. В спектрах ПМР приняты следующие обозначения: с — синглет, д — дублет, т — триплет. УФ-спектры регистрировали на приборе Specord UV-VIS (ГДР). Хроматографию в тонком слое проводили на пластинках Silufol UV<sub>254</sub> (ЧССР) в системе Pr<sup>i</sup> OH — конц. аммиак — вода, 7 : 1 : 2 (A); на целлюлозе DE-52 (Whatman, Великобритания), сефадексе G-25 (Pharmacia, Швеция).

**Полимеризация аденоzin-2'(3')-фосфата (I).** К смеси 0,7 г (1 ммоль) моно(три-*n*-октил)аммониевой соли аденоzin-2'(3')-фосфата в 5 мл сухого диоксана при перемешивании добавляли 0,33 мл (1,6 ммоль) дифенилхлорфосфата и 0,69 мл (2,9 ммоль) три-*n*-бутиламина, смесь перемешивали 3 ч при 20° С и добавляли 0,33 мл дифенилхлорфосфата и 0,69 мл три-*n*-бутиламина. Через 15 ч при 20° С раствор упаривали, остаток промывали эфиром (5×20 мл), растворяли в воде (30 мл), нейтрализовывали 2,5% NH<sub>4</sub>OH до pH 8 и лиофилизовали. Получали 305 мг олигомера (II).

**Ферментативный гидролиз олигомера (II) неспецифической рибонуклеазой *P. brevicompactum* и щелочной фосфатазой *E. coli*.** К раствору 200 мг олигомера (II) в 5 мл воды прибавляли 2 мг рибонуклеазы *P. brevicompactum* (концентрация фермента 10<sup>-5</sup> М) и смесь оставляли на 18 ч при 20° С. К раствору добавляли 0,25 мл 1 М раствора MgCl<sub>2</sub>, доводили до pH 8,5 конц. NH<sub>4</sub>OH и инкубировали 18 ч при 20° С со щелочной фосфатазой *E. coli* (КФ 3.1.3.1; 10 ед. акт.). Смесь пропускали через колонку (2×60 см) с сефадексом G-25. УФ-поглощающие фракции, содержащие 2'-5'-олигоаденилаты, наносили на колонку (6,5×20 см) с DEAE-целлюлозой (HCO<sub>3</sub><sup>-</sup>-форма), колонку промывали водой (1 л) и элюировали NH<sub>4</sub>HCO<sub>3</sub> в градиенте концентрации (0,0→0,3 М, общий объем 9 л). Фракции, содержащие продукты, объединяли, упаривали в вакууме досуха, упаривали с водой (5×10 мл) и лиофилизовали.

(2'-5')ApA (III) (аммониевая соль), элюирующая концентрация NH<sub>4</sub>HCO<sub>3</sub> 0,05 М, выход 70 мг (34%). *R*<sub>f</sub> 0,47 (A). УФ-спектр: λ<sub>макс</sub><sup>pH 7</sup> 260 нм (*ε* 24 800), λ<sub>макс</sub><sup>pH 1</sup> 258 нм (*ε* 26 500). ПМР-спектр (D<sub>2</sub>O, δ, м.д.): 8,18 с (1Н), 8,17 с (1Н), 8,01 с (1Н) и 7,78 с (1Н) (8-Н и 2-Н), 6,13 д (1Н, *J* 5,0), 5,81 д (1Н, *J* 3,0) (1'-Н).

(2'-5')ApApA (IV) (аммониевая соль) элюировался 0,14 М NH<sub>4</sub>HCO<sub>3</sub>, выход 15,6 мг (7,5%). *R*<sub>f</sub> 0,36 (A). УФ-спектр: λ<sub>макс</sub><sup>pH 7</sup> 260 нм (*ε* 30 200), λ<sub>макс</sub><sup>pH 1</sup> 258 нм (*ε* 33 800). ПМР-спектр (D<sub>2</sub>O, δ, м.д.): 8,16 с (1Н), 8,07 с (1Н), 7,97 с (1Н), 7,95 с (1Н), 7,92 с (1Н) и 7,74 с (1Н) (8-Н и 2-Н); 6,04 д (1Н, *J* 4,0), 5,91 д (1Н, *J* 4,0), 5,81 д (1Н, *J* 4,0) (1'-Н). <sup>31</sup>P-ЯМР-спектр (D<sub>2</sub>O, δ, м.д.): -1,31 с, -0,96 с.

(2'-5')ApApApA (V) (аммониевая соль) элюировался 0,21 М NH<sub>4</sub>HCO<sub>3</sub>, выход 5,6 мг (2,6%). *R*<sub>f</sub> 0,30 (A). УФ-спектр: λ<sub>макс</sub><sup>pH 7</sup> 260 нм (*ε* 39 700), λ<sub>макс</sub><sup>pH 1</sup> 258 нм (*ε* 45 300). ПМР-спектр (D<sub>2</sub>O, δ, м.д.): 8,14 с (1Н), 8,06 с (1Н), 7,91 с (2Н), 7,88 с (2Н), 7,81 с (1Н) и 7,77 с (1Н) (8-Н и 2-Н), 6,03 д (1Н, *J* 4,0), 5,88 д (1Н, *J* 4,0), 5,81 д (1Н, *J* 4,0), 5,79 д (1Н, *J* 4,0) (1'-Н).

**Ферментативный гидролиз олигомера (II) нуклеазой S<sub>1</sub> *A. oryzae* и рибонуклеазой *P. brevicompactum*.** К раствору 200 мг олигомера (II) в 10 мл воды прибавляли 200 мкл 3·10<sup>-6</sup> М раствора эндонуклеазы S<sub>1</sub> *A. oryzae* (КФ 3.1.30.1, первоначально КФ 3.1.4.22) в 0,03 М ацетатном буфере (pH 4,7), содержащем 10<sup>-4</sup> М ZnCl<sub>2</sub>, и оставляли на 24 ч при

20° С. К раствору добавляли 200 мкл 3·10<sup>-5</sup> М раствора рибонуклеазы *P. brevicompactum* в 0,2 М NaCl и выдерживали 18 ч при 20° С. Раствор пропускали через колонку (2×60 см) с сефадексом G-25. УФ-поглощающие фракции, содержащие 2'-5'-олигоаденилаты, наносили на колонку (6,5×20 см) с DEAE-целлюлозой (HCO<sub>3</sub><sup>-</sup>-форма), колонку промывали водой (1 л) и элюировали NH<sub>4</sub>HCO<sub>3</sub> в градиенте концентрации (0,0→0,5 М, общий объем 9 л). Фракции, содержащие продукты, объединяли, упаривали в вакууме досуха, упаривали с водой (5×10 мл) и лиофилизовали.

(2'-5')pApA (VI) (аммониевая соль) элюировался 0,17 М NH<sub>4</sub>HCO<sub>3</sub>, выход 19 мг (16%). *R<sub>f</sub>*, 0,16 (А). ПМР-спектр (D<sub>2</sub>O, δ, м.д.): 8,22 с (1Н), 8,12 с (1Н), 8,04 с (1Н) и 7,96 с (1Н) (8-Н и 2-Н), 6,16 д (1Н, *J* 4,0) и 5,85 д (1Н, *J* 3,0) (1'-Н). <sup>31</sup>P-ЯМР-спектр (D<sub>2</sub>O, δ, м.д.): +0,3 с, -1,1 с.

(2'-5')pApApA (VII) (аммониевая соль) элюировался 0,20 М NH<sub>4</sub>HCO<sub>3</sub>, выход 6 мг (4,7%). *R<sub>f</sub>*, 0,12 (А). ПМР-спектр (D<sub>2</sub>O, δ, м.д.): 8,30 с (1Н), 8,21 с (1Н), 7,98 с (3Н) и 7,94 с (1Н) (8-Н и 2-Н), 6,13 д (1Н, *J* 3,5), 5,95 д (1Н, *J* 4,0) и 5,86 д (1Н, *J* 4,0) (1'-Н).

*Аденилил(3'-5')аденилил(2'-5')аденозин (VIII).* К раствору 10 мг (0,03 ммоль) аденоzin-2',3'-циклофосфата и 16 мг (0,025 ммоль) аденилил(2'-5')аденозина (III) в 0,1 мл 0,2 М натрий-фосфатного буфера (pН 7) при 0° С добавляли 2 мкл 2·10<sup>-5</sup> М раствора рибонуклеазы *P. brevicompactum* и выдерживали 24 ч при 0° С. Реакцию останавливали добавлением 0,4 мл 5% аммиака, смесь наносили на бумагу Whatman 3ММ и хроматографировали в системе А. УФ-поглощающую зону с *R<sub>f</sub>*, 0,43 вырезали, продукт элюировали 2,5% аммиаком и лиофилизовали. Выход аммониевой соли соединения (VIII) 7,2 мг (30%). *R<sub>f</sub>*, 0,35 (А). Спектр ПМР (D<sub>2</sub>O, δ, м.д.): 8,35 с (2Н), 8,24 с (1Н), 8,21 с (1Н), 8,15 с (1Н) и 8,09 с (1Н) (8-Н и 2-Н), 6,09 д (1Н, *J* 4,5), 6,03 д (1Н, *J* 4,0) и 5,84 д (1Н, *J* 4,0) (1'-Н).

*Аденилил(2'-5')-9-[1',5'-диокси-4'-(S)-оксиметил-3'-оксапент-2'(R)-ил]-аденин (IX).* К раствору 15,5 мг (0,025 ммоль) аммониевой соли (2'-5')ApA (III) в 0,3 мл воды при охлаждении до 0° С добавляли 6,5 мг (0,03 ммоль) NaIO<sub>4</sub> и оставляли на 16 ч при 0° С. К раствору прибавляли 0,5 мл 0,1 М Ba(OAc)<sub>2</sub>, осадок отфильтровывали, промывали водой (1 мл), к фильтратам добавляли 5,1 мг (0,13 ммоль) NaBH<sub>4</sub> и смесь перемешивали 2 ч при 20° С. К смеси прибавляли 30% уксусную кислоту до pH 7 и раствор паносили на колонку с дауэксом 50 (H<sup>+</sup>-форма, объем 2 мл). Колонку промывали водой (5 мл) и продукт элюировали 2,5% аммиаком. Элюят упаривали в вакууме досуха, остаток растворяли в 200 мл воды и наносили на колонку с DEAE-целлюлозой (HCO<sub>3</sub><sup>-</sup>-форма, объем 200 мл), колонку промывали водой (500 мл) и элюировали NH<sub>4</sub>HCO<sub>3</sub> в градиенте концентрации (0,0→0,1 М, общий объем 6 л). Соединение (IX) элюировалось 0,05 М NH<sub>4</sub>HCO<sub>3</sub>. УФ-поглощающие фракции, содержащие продукт, упаривали в вакууме досуха, упаривали с водой (5×10 мл) и лиофилизовали. Выход аммониевой соли соединения (IX) 7,4 мг (48%). *R<sub>f</sub>*, 0,51 (А). ПМР-спектр (D<sub>2</sub>O, δ, м.д.): 8,32 с (1Н), 8,30 с (2Н) и 8,07 с (1Н) (8-Н и 2-Н), 5,09 д (1Н, *J* 5,0) и 4,90 т (1Н, *J* 5,0) (1'-Н).

Этим же методом, исходя из (2'-5')ApApA (IV), синтезировали аденилил(2'-5')аденилил(2'-5')-9-[1',5'-диокси-4'-(S)-оксиметил-3'-оксапент-2(R)-ил]аденин (аммониевая соль), выход 44%. *R<sub>f</sub>*, 0,40 (А). ПМР-спектр (D<sub>2</sub>O, δ, м.д.): 8,24 с (1Н), 8,16 с (2Н), 8,02 с (2Н) и 7,81 с (1Н) (8-Н и 2-Н), 6,14 д (1Н, *J* 4,2), 5,88 т (1Н, *J* 5,1) и 5,83 д (1Н, *J* 3,3) (1'-Н).

*Обработка соединений (III)–(X) неспецифической рибонуклеазой *P. brevicompactum*.* Раствор соединения (III)–(X) (0,2–0,4 мг) в 0,1 мл трис-ацетатного буфера (pН 5), содержащего 0,1 М NaCl, инкубировали с рибонуклеазой *P. brevicompactum* (конечная концентрация фермента 10<sup>-6</sup> М) 24 ч при 20° С. Смеси анализировали с помощью ТСХ в системе А. Соединения (III)–(VII), (IX) и (X) полностью устойчивы к данному ферменту. Тринуклеозидифосфат (VIII) гидролизовался ферментом до аденоzin-3'-фосфата и соединения (III) в соотношении 1 : 1,05. Аналогично проводили гидролиз нуклеазой S<sub>1</sub>. Соединения (III)–(VII), (IX) и (X) также устойчивы к действию нуклеазы S<sub>1</sub> *A. oryzae*.

*Щелочной гидролиз соединений (III)–(X).* Раствор соединения (III)–(X) (0,2–0,4 мг) в 0,1 мл 0,3 М NaOH нагревали 16 ч при 37° С. ТСХ в системе А демонстрировала полный гидролиз исходных соединений до аденоцина (A) или его окисленно-восстановленного аналога (XI), аденоцин-2'-(3')-фосфата и аденоцин-2'-(3'), 5'-дифосфата. Соответствующие зоны хроматограмм элюировались 1% аммиаком и спектрофотометрически определялись соотношение продуктов гидролиза. Приведены шифр исходного соединения, продукты гидролиза и их соотношение: (III), A2'-(3')<sub>p</sub>, A, 1 : 1,06; (IV), A2'-(3')<sub>p</sub>, A, 2 : 0,96; (V), A2'-(3')<sub>p</sub>, A, 3 : 1,01; (VI), p5'A2'-(3')<sub>p</sub>, A, 1 : 0,97; (VII), p5'A2'-(3')<sub>p</sub>, A2'-(3')<sub>p</sub>, A, 1 : 1,02 : 0,97; (VIII), A2'-(3')<sub>p</sub>, A, 2 : 1,02; (IX), A2'-(3')<sub>p</sub>, 9-[1',5'-диокси-4'-оксиметил-3'-оксапент-2'(R)-ил]аденин (XI), 1 : 0,97; (X), A2'-(3')<sub>p</sub>, аналог (XI), 2 : 1,02. Хроматографические подвижности ( $R_f$ ) в системе А для A2'-(3')<sub>p</sub>, A, p5'A2'-(3')<sub>p</sub> и аналога (XI) составляли 0,2; 0,65; 0,05 и 0,72 соответственно.

*Изучение ферментативного гидролиза олигомера (II) методом  $^{31}\text{P}$ -ЯМР-спектроскопии.*

1. В ампулу для регистрации ЯМР-спектров помещали раствор 15 мг олигомера (II) в 0,5 мл D<sub>2</sub>O.  $^{31}\text{P}$ -ЯМР-спектр раствора при pH 4,8 представлен на рис. 1.

2. В ампулу помещали раствор 15 мг олигомера (II) в 0,5 мл D<sub>2</sub>O и 15 мкл  $3 \cdot 10^{-5}$  М раствора рибонуклеазы *P. brevicompactum*. Раствор (pH 4,8) выдерживали 16 ч при 20° С.  $^{31}\text{P}$ -ЯМР-спектр приведен на рис. 2.

3. В ампулу опыта 2 добавляли 30 мкл 1 М MgCl<sub>2</sub>, доводили до pH 9 конц. аммиаком, прибавляли 0,1 мл раствора щелочной фосфатазы *E. coli* (10 ед. акт./мл), смесь инкубировали 16 ч при 20° С.  $^{31}\text{P}$ -ЯМР-спектр раствора при pH 9 представлен на рис. 3.

4. В ампулу помещали раствор 15 мг олигомера (II), в 0,5 мл D<sub>2</sub>O и 15 мкл  $3 \cdot 10^{-5}$  М раствора нуклеазы S<sub>i</sub> в 0,02 М AcONa, содержащем 10<sup>-3</sup> М ZnCl<sub>2</sub>. Раствор (pH 4,8) выдерживали 16 ч при 20° С.  $^{31}\text{P}$ -ЯМР-спектр раствора приведен на рис. 4.

5. В ампулу опыта 4 добавляли 15 мкл  $3 \cdot 10^{-5}$  М раствора рибонуклеазы *P. brevicompactum*. Раствор (pH 4,8) выдерживали 16 ч при 20° С.  $^{31}\text{P}$ -ЯМР-спектр раствора при pH 4,8 приведен на рис. 5.

Авторы благодарят А. Л. Бочарова, В. А. Ежова и Е. Ю. Колбановскую за предоставленные ферменты.

## ЛИТЕРАТУРА

- Kerr I. M., Brown R. E. Proc. Nat. Acad. Sci. USA, 1978, v. 75, № 1, p. 256–260.
- Williams B. R. G., Kerr I. M. Trends in Biochem. Sci., 1980, v. 5, № 5, p. 138–140.
- Schmidt A., Zilberman A., Shulman L., Federman P., Berissi H., Revel M. FEBS Lett., 1978, v. 95, № 2, p. 257–264.
- Karpeisky M. Ya., Beigelman L., Mikhailov S. N., Padyukova N. Sh., Smrt J. Coll. Czech. Chem. Commun., 1982, v. 47, № 1, p. 156–166.
- Martin E. M., Birdsall N. J. M., Brown R. E., Kerr I. M. Eur. J. Biochem., 1979 v. 95, № 2, p. 295–307.
- Revel M., Kimchi A., Schmidt A., Shulman L., Rapoport S., Lapidot Y. In: Regulation of macromolecular synthesis by low molecular weight mediators/Eds Koch G., Richter D. N. Y.: Acad. Press, 1979, p. 341–359.
- Doetsch P., Wu J. M., Sawada Y., Suhadolnik R. J. Nature, 1981, v. 291, № 5813, p. 355–358.
- Michelson A. M. J. Chem. Soc., 1959, № 4, p. 1371–1394.
- Cozzzone P. J., Jardezyk O. Biochemistry, 1976, v. 15, № 22, p. 4853–4859.
- Сенченко В. Н., Колбановская Е. Ю., Яковлев Г. Н., Карпейский М. Я. Докл. АН СССР, 1980, т. 251, № 3, с. 746–750.
- Jones S. S., Reese C. B. J. Amer. Chem. Soc., 1979, v. 101, № 24, p. 7399–7401.
- Doornbos J., Hartog den J. A. J., Boom van J. H., Altona C. Eur. J. Biochem., 1981, v. 116, № 2, p. 403–412.
- Charubala R., Uhlman E., Pfleiderer W. Liebigs Ann. Chem., 1981, № 12, p. 2392–2406.
- Женодарова С. М. Успехи химии, 1970, т. 39, вып. 8, с. 1479–1493.
- Хабарова М. Н., Женодарова С. М. Ж. орган. химии, 1972, т. 42, вып. 7, с. 4886.
- Smrt J., Mikhailov S. N., Hynie S., Florentiev V. L. Coll. Czech. Chem. Commun., 1975, v. 40, № 11, p. 3399–3403.

17. Крицын А. М., Михайлов С. Н., Мишарин А. Ю., Падюкова Н. И., Флорентьев В. Л. Биоорганс. химия, 1976, т. 2, № 10, с. 1338–1350.  
18. RajBhandary V. L. J. Biol. Chem., 1968, v. 243, № 3, p. 556–564.

Поступила в редакцию  
11.X.1982

## USE OF NUCLEASES FOR SYNTHESIS OF 2'-5' OLIGOADENYLATES AND RELATED COMPOUNDS

KARPEISKY M. Ya., MAMAEVA O. K., MIKHAILOV S. N., PADYUKOVA N. Sh.,  
YAKOVLEV G. I., SMRT J.

*Institute of Molecular Biology, Academy of Sciences of the USSR, Moscow;  
Institute of Organic Chemistry and Biochemistry, Czechoslovak  
Academy of Sciences, Prague*

Polyadenylic acid, containing 2'-5' and 3'-5' linkages distributed at random has been prepared by treatment of adenosine 2'(3')phosphate with diphenyl phosphorochloride. The 3'-5' internucleotidic linkages and the terminal 2',3'-cyclic phosphate groups were removed enzymatically and (2'-5') oligoadenylyates ApA, ApApA, ApApApA, pApA and pApApA were isolated.  $^{31}\text{P}$  NMR spectroscopy was applied to characterize the synthesized oligomer and the products of its enzymatic hydrolysis. To illustrate the potentiality of enzymic synthesis of oligoisoadenylate analogs with 2'-5' and 3'-5' internucleotide bonds, adenylyl(3'-5')adenylyl(2'-5')adenosine was prepared by condensation of adenosine 2',3'-cyclophosphate with (2'-5')ApA in the presence of nuclease from *Penicillium brevicompactum*. The analogs with modified terminal ribose residue were obtained by periodate oxidation followed by sodium borohydride reduction of (2'-5')ApA and (2'-5')ApApA.